

Vertexrekonstruktion für das Mu3e Experiment

Sebastian Schenk
für die Mu3e Kollaboration

Physikalisches Institut, Universität Heidelberg

25. März 2014



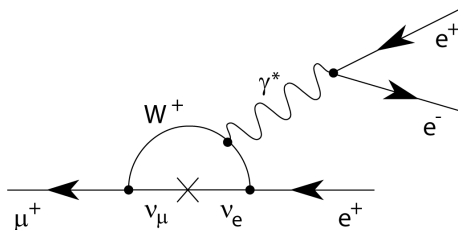
Der Zerfall

$$\mu^+ \rightarrow e^+ e^- e^+$$

verletzt Lepton-Flavour Erhaltung

Der Zerfall $\mu^+ \rightarrow e^+e^-e^+$

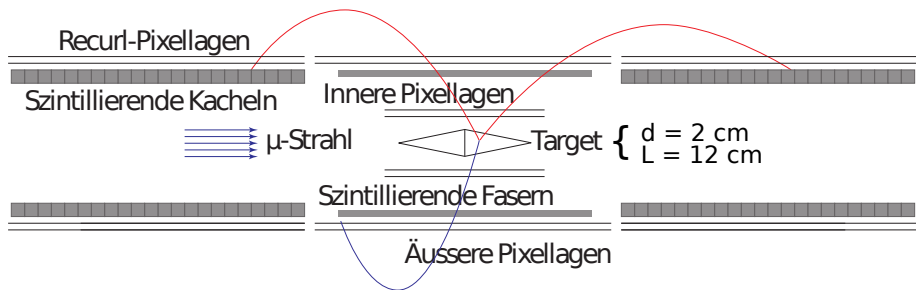
- ▶ $\mu^+ \rightarrow e^+e^-e^+$ möglich durch Neutrinooszillation



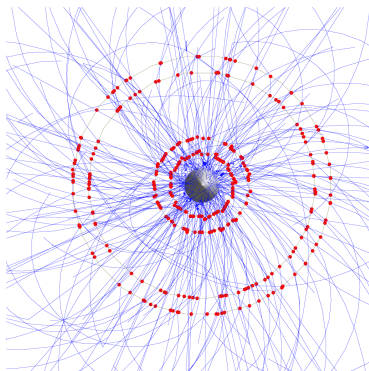
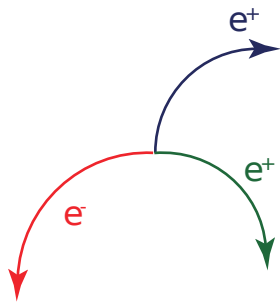
- ▶ Verzweigungsverhältnis $B \ll 10^{-50}$
 - ⇒ Unterdrückt im Standardmodell (SM)
 - ⇒ Beobachtung klares Zeichen für Physik jenseits des SM

Mu3e

- ▶ **Ziel:** Sensitivität Verzweigungsverhältnis $B < 1 \times 10^{-16}$
- ▶ Beobachte mehr als 10^{17} Myon Zerfälle
⇒ Stopp Rate $\mathcal{O}(\text{GHz})$
- ▶ 4 zylindrische Lagen Pixeldetektoren in Magnetfeld
⇒ Innerste Lage $d \approx 4 \text{ cm}$



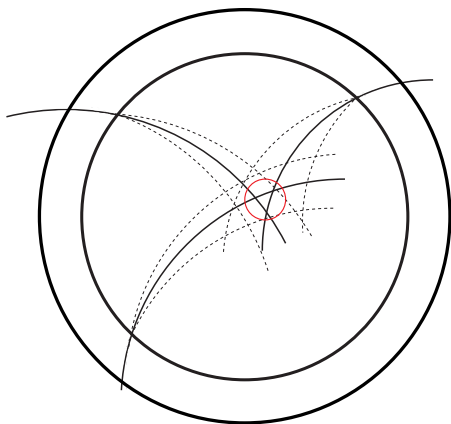
Signal



Ein Merkmal von $\mu^+ \rightarrow e^+e^-e^+$ ist ein gemeinsamer Vertex.
Dieser muss rekonstruiert werden.

Herausforderungen

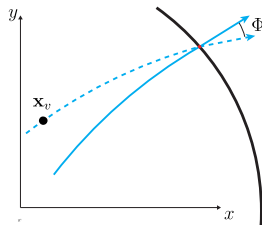
- ▶ Impulse $p_e = 10 - 50 \text{ MeV}$
⇒ Vielfachstreuung $\sigma \propto \frac{1}{p}$
- ▶ Magnetfeld $B = 1 \text{ T}$
⇒ Stark gekrümmte Trajektorien
- ▶ Vertexrekonstruktion kompliziert



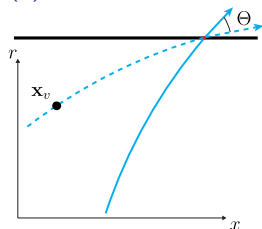
Vertexrekonstruktion

Idee

- ▶ Vielfachstreuung dominant
⇒ Vernachlässige Ortsauflösung
- ▶ Linearisiere Track Modell um möglichen Vertex \mathbf{x}_v
- ▶ Definiere Streuwinkel $\Phi(\mathbf{x}_v)$ und $\Theta(\mathbf{x}_v)$
- ▶ Definiere und minimiere eine $\chi^2(\Phi, \Theta)$ -Funktion
⇒ Bessere Schätzung von \mathbf{x}_v



(a) Transversale Ebene



(b) Longitudinale Richtung

Vertexrekonstruktion

Mathematische Beschreibung

- ▶ χ^2 -Funktion

$$\chi^2(\mathbf{x}_v) := \sum_{i=1}^3 \left[\frac{\Phi_i^2(\mathbf{x}_v)}{\sigma_{\Phi,i}^2} + \frac{\Theta_i^2(\mathbf{x}_v)}{\sigma_{\Theta,i}^2} \right]$$

- ▶ Linearisiere Winkel um initiale Vertexposition $\mathbf{x}_v = \mathbf{x}_{v,0} + \Delta\mathbf{x}_v$

$$\Phi_i(\mathbf{x}_v) = \Phi_i(\mathbf{x}_{v,0}) + \langle \Delta\mathbf{x}_v, \nabla\Phi_i(\mathbf{x}_{v,0}) \rangle$$

$$\Theta_i(\mathbf{x}_v) = \Theta_i(\mathbf{x}_{v,0}) + \langle \Delta\mathbf{x}_v, \nabla\Theta_i(\mathbf{x}_{v,0}) \rangle$$

- ▶ Minimiere $\chi^2(\mathbf{x}_v)$ bezüglich $\Delta\mathbf{x}_v$

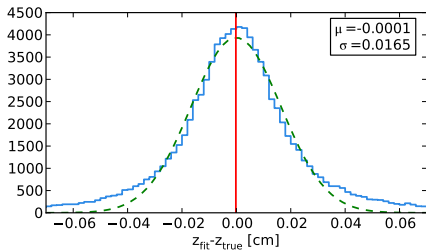
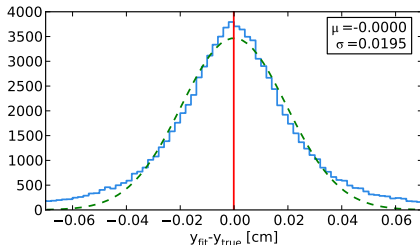
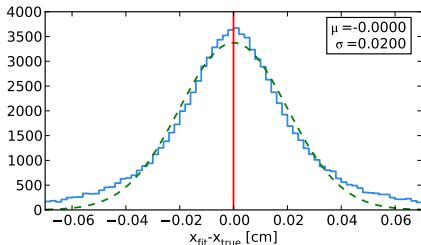
$$\nabla\chi^2(\mathbf{x}_v) = 0 \quad \Rightarrow \quad \mathbf{F}\Delta\mathbf{x}_v + \mathbf{C} = 0$$

- ▶ Mehrere Iterationen

$$\mathbf{x}_{v,n+1} = \mathbf{x}_{v,n} + \Delta\mathbf{x}_{v,n} \quad \text{mit} \quad n \in \mathbb{N}$$

Ergebnisse

Residuen Vertexposition



- ▶ Kein Bias
- ▶ Vertexauflösung δx_v von 165 – 200 μm
- ▶ Beste Auflösung in longitudinaler Richtung

χ^2 -Verteilung

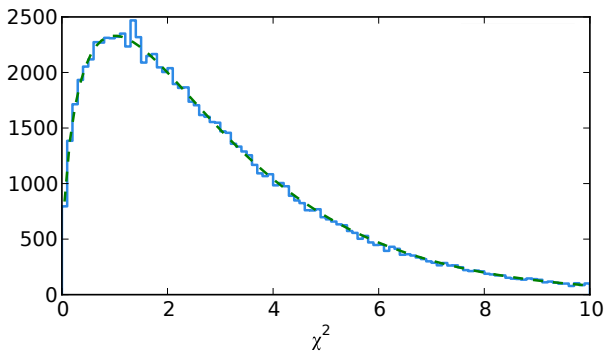
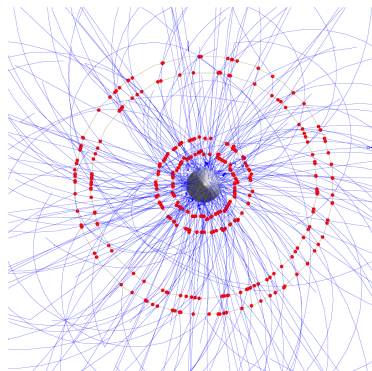
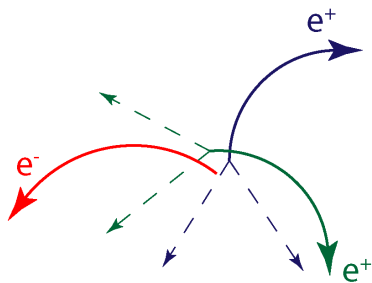


Abbildung : Verteilung von $\chi^2(\mathbf{x}_v)$ für rekonstruierte Vertexpositionen \mathbf{x}_v .

- ▶ $\chi^2(\mathbf{x}_v) \sim \chi_3^2 \Rightarrow \chi^2(\mathbf{x}_v)$ wohldefiniert bzgl. Vertexrekonstruktion

Unterdrückung von Untergrund



Zufälliger Untergrund soll unterdrückt werden.
Es gibt keinen gemeinsamen Vertex.

χ^2 -Verteilung

Zufälliger Untergrund

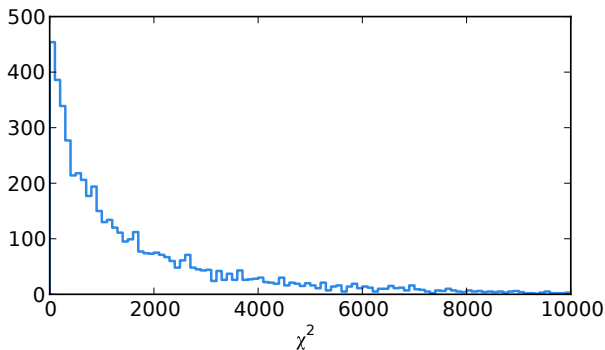
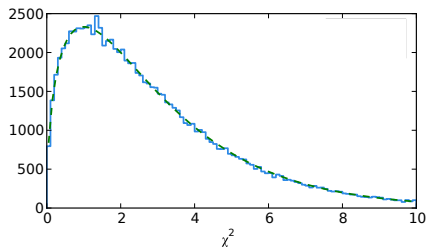


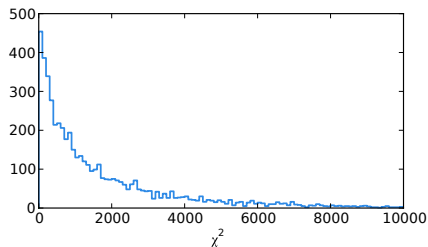
Abbildung : $\chi^2(\mathbf{x}_v)$ -Verteilung für eine zufällige Untergrund Stichprobe.

χ^2 -Verteilung

Signal und Untergrund im Vergleich



(a) Signal



(b) Untergrund

Abbildung : Verteilung von $\chi^2(\mathbf{x}_v)$ für rekonstruierte Vertexpositionen \mathbf{x}_v .

- ▶ $\chi^2(\mathbf{x}_v)$ nützliches Kriterium, um Signal von Untergrund zu trennen

Effizienz vs. Unterdrückung

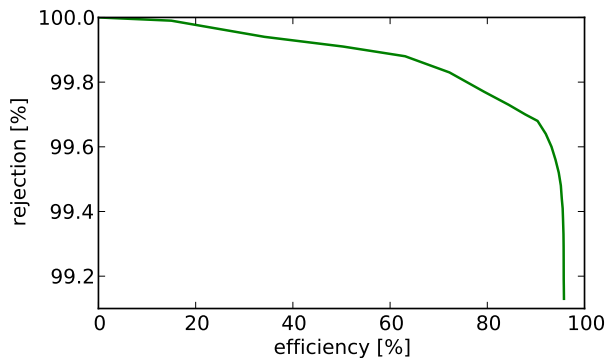
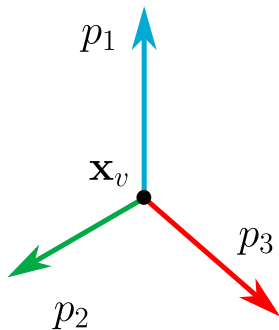
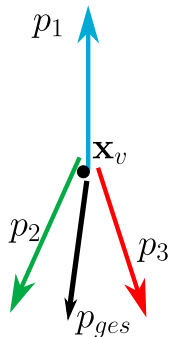


Abbildung : Effizienz vs. Unterdrückung auf Basis eines χ^2 Schwellwerts.

Rekonstruktion der invarianten Masse



$$\sum_{i=1}^3 \mathbf{p}_i = 0$$
$$\Rightarrow M^2 = m_\mu^2$$



$$\sum_{i=1}^3 \mathbf{p}_i \neq 0$$
$$\Rightarrow M^2 < m_\mu^2$$

Rekonstruktion der invarianten Masse

Auflösung

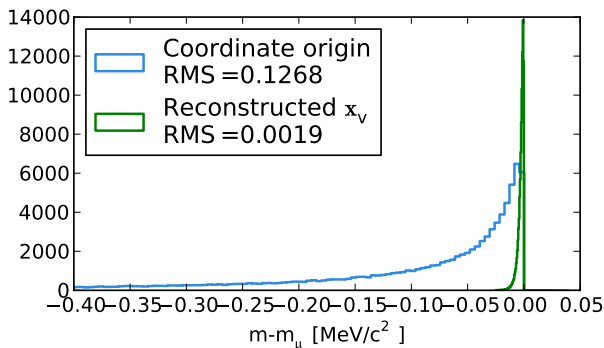
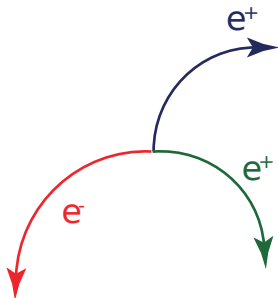


Abbildung : Verteilung der Residuen der rekonstruierten invarianten Masse bzgl. der Myon Masse m_μ für Signale, rekonstruiert im Ursprung und am rekonstruierten Vertex.

Fazit



- ▶ Vertexrekonstruktion funktioniert
- ▶ Vertexauflösung δx_v von $165 - 200 \mu\text{m}$
- ▶ Unterdrückung von Untergrund